

SECTIUNEA 1

RAPORTUL STIINTIFIC SI TEHNIC (RST)

FAZA DE EXECUTIE NR. VII

CU TITLUL "Estimarea parametrilor de detectie a detectorilor cu placi rezistive (RPC) ca detectori de imagine in tomografia cu emisie de pozitroni"

- € **RST – raport stiintific si tehnic in extenso***
- € **PVAI – proces verbal de avizare interna**
- € **PVRLP – procese verbale de receptie a lucrarilor de la parteneri****
- € **PF – protocol de finalizare(numai pentru faza finala)**

Anexa 3 - RST

Indicatori de realizare a fazei (conform specificului fiecarui program/proiect)

<p><i>instalație pilot , prototip</i></p> <ul style="list-style-type: none"> - <i>Planuri de afaceri</i> • comunicari stiintifice • organisme ale infrastructurii de evaluare a conformitatii dezvoltate in cadrul programului: <ul style="list-style-type: none"> ○ laboratoare de incercari ○ laboratoare de etalonare ○ organisme de certificare • organisme de evaluare a conformitatii care isi desfasoara activitatea in domeniile reglementate prin directivele Uniunii Europene, din care: <ul style="list-style-type: none"> ○ produse industriale care intra sub incidenta marcajului CE; ○ produse agro- alimentare. ○ nr. de specialisti formati/instruiti pentru evaluarea conformitatii; • programe postdoctorale create la nivel national • cercetatori romani avand titlul de doctori in stiinte obtinut in strainatate sau stagiipostdoctorale efectuate in strainatate reveniti in tara si angajati in unitati de cercetare • specialisti formati/ instruiti im managementul si administratia cercetarii • manifestari stiintifice sau promotionale cu participare internationala reprezentative; • vizite de lucru si stagii de lunga durata ale unor personalitati stiintifice din strainatate; • propuneri de proiecte transmise la programe internationale; • propuneri de proiecte internationale aprobatte; • platforme tehnologice integrate in platforme tehnologice europene. • parteneriate nou create • <i>Software</i> • <i>Baze de date</i> • <i>Pagini web</i> 	1	1
<ul style="list-style-type: none"> ▪ <i>Consultanta, Asistenta tehnica</i> ▪ <i>Cursuri de pregatire organizate</i> 		
<p><i>Constructii institutionale si formare continua:</i></p> <ul style="list-style-type: none"> • <i>linii de invatamant</i> • <i>programe de masterat</i> • <i>formare continua</i> • <i>Pregatire post doctorală</i> • <i>Pregatire managerială</i> • <i>Formarea de personal specializat</i> 	2	2

CUPRINS

Obiectivele generale	pag. 5
Obiectivele fazei de executie	pag. 5
Rezumatul fazei	pag. 5
Descrierea stiintifica si tehnica	pag. 8
1. Introducere	pag. 8
2. Reconstructia prin simulare Monte Carlo folosind ca detectori de imagine MSMRPC	pag.10
3. Determinarea eficacitatii absolute de detectie a detectorului de tip RPC pentru radiatia gama de 511 keV.....	pag.15
Principiul metodei.....	pag.16
Detalii experimentale	pag.16
Rezultate experimentale	pag.19
Concluzii	pag.26
Bibliografie	pag.27

Obiective generale

Prezentul proiect e un proiect de mare complexitate care si-a propus mai multe obiective:

- I. Obtinerea de noi rezultate experimentale si teoretice privind structura nucleara si fazele materiei nucleare
- II. Dezvoltarea si constructia de sisteme avansate de detectie
- III. Proiectarea si constructia de electronica front-end (FEE) asociata sistemelor avansate de detectie
- IV. Dezvoltarea unui sistem de calcul distribuit de tip GRID pentru calculatoare de anvergura
- V. Aplicatii in alte sectoare de activitate.

Prin activitatile desfasurate in prezenta faza de executie se aduc contributii la realizarea celui de al doilea si al cincilea dintre obiectivele generale enumerate mai sus.

Obiectivele fazei de executie

Realizarea de studii detaliate a dependentei eficacitatii de detectie a RPC pentru radiatii X si gamma in functie de numarul de spatii si tipul electrozilor rezistivi. Aceste studii au un impact direct asupra folosirii RPC ca detector de imagine.

Rezumatul fazei

Obiectivul principal al etapei raportate este realizarea de studii experimentale privind parametrii de detectie ai unui prototip RPC realizat de grupul nostru si sa se arate in ce masura acestia permit utilizarea camerelor rezistive cu placi (RPC – Resistive Plate Chamber) in tomografie. Acest obiectiv este in concordanta cu obiectivele generale ale proiectului referitoare la dezvoltarea si construirea unor sisteme avansate de detectie si aplicatii in alte sectoare de activitate.

In cadrul grupului nostru s-a proiectat si realizat prototipul unei camere rezistive cu placi multi strip multi gap (MSMGRPC – Multi Strip Multi Gap RPC).

In prezent exista studii, la nivel de prototip, ale perspectivelor utilizarii RPC, dezvoltate pentru studiul interactiilor nucleare la energii relativiste, in tomografia cu emisie de pozitroni (PET).

Pe baza parametrilor prototipului MSMRPC, construit de noi, determinati in masuratori in fascicul (rezolutie temporală și rezolutie in determinarea coordonatelor punctului de detectie) s-au facut simulari Monte Carlo pentru cazul in care RPC ar fi asamblate intr-un cilindru de raza de 50 cm si lungime 1 m, geometrie in care radiatia gama rezultata in urma interactiei pozitronului cu tesuturile organismului uman este detectata intr-un unghi solid apropiat de 4π . O astfel de ar geometrie prezinta avantajul realizarii economice a unui tomograf care ar permite scanarea intregului organism uman.

Rezultatele sunt obtinute pentru cazul in care punctele de interactie ale pozitronilor cu tesutul uman (imagine initiala) sunt uniform distribuite in trei geometrii. Pe baza simularii detectiei radiatiei gama care se produce in urma interactiei pozitronului cu tesutul uman se obtin coordonatele reconstituite ale punctelor de emisie (imagine reconstituita). Imaginele reconstituite sunt similare cu cele initiale pentru toate cele trei geometrii.

O evaluare cantitativa a rezolutiei in reconstruirea imaginii initiale se obtine prin simularea pentru o sursa punctuala. Pe baza imaginilor reconstituie prin simularea pentru o sursa punctuala situata in originea sistemului de coordonate s-a evaluat ca eroarea in reconstructia coordonatei x este de ~ 2 mm, iar in coordonatele y si z este ~ 5 mm. Din studiul bazat pe simulari Monte Carlo rezulta posibilitatea utilizarii RPC realizate de noi pentru PET, avand in vedere posibilitatea realizarii de structuri multigap care ar imbunatati rezolutia in determinarea coordonatelor y si z ale punctului de detectie a radiatiei gama.

Partea 3 a prezentului raport este dedicata masuratorilor experimentale privind eficienta de detectie a prototipului MSMRPC pentru fotonii de anihilare de 511 keV. Pentru determinarea eficacitatii absolute de detectie s-a folosit o sursa quasipunctuala de ^{22}Na care emite pozitroni, iar acestia prin anihilare, produc cate o pereche de fotoni de 511 keV, emisi in directii antiparalele. Identificarea evenimentelor de interes (detectarea perechilor de fotoni emisi in opozitie) se face cu ajutorul a doi detectori dispuși simetric fata de sursa. Coincidența intre cei doi detectori indica faptul ca s-a produs un eveniment

de interes. Semnalele furnizate de detector au fost amplificate cu amplificatori rapizi, special proiectati pentru obtinerea informatiei de timp cu rezolutie temporală foarte buna de la detectorii RPC similari, bazati pe sticla comerciala, utilizati la modernizarea subdetectorului de TOF al aranjamentului experimental FOPI. Fiecare amplificator rapid are 4 intrari si 8 iesiri, deoarece furnizeaza simultan informatia de timp si cea de amplitudine a semnalului. Semnalul logic obtinut de la fiecare canal de discriminator a fost apoi introdus intr-un discriminator de tip leading-edge (LE). Dupa realizarea unui AND logic intre semnalele logice corespunzatoare celor doua capete ale fiecarui strip, semnalele obtinute la iesirea fiecaruia dintre cele patru AND-uri au fost introduse intr-un OR logic. Semnalul de start a fost obtinut prin suprapunerea temporală a semnalului de la scintilator cu cel obtinut la iesirea OR-ului logic.

Spectrele de timp au fost inregistrate prin intermediul unui convertor analog-digital TDC LeCroy 2228A. Semnalele de sarcina au fost inregistrate prin intermediul unui convertor analog-digital ADC2249W.

In urma prelucrarii datelor experimentale s-a obtinut pentru eficacitatea RPC valoarea $\epsilon_{MSMGRPC} = 0,0128\%$, iar pentru plasticul scintilator $\epsilon_{SCIP} = 0,0312\%$.

Raportul celor doua eficacitati este $\epsilon_{SCIP}/\epsilon_{MSMGRPC}=2,4375$, ceea ce arata ca eficacitatea absoluta de detectie a detectorului de plastic scintilator pentru radiatia gama de 511 keV este de aproximativ 2,5 ori mai buna decat a detectorului MSMGRPC.

Trebuie insa subliniat ca valoarea estimata pentru detectorul cu electrozi rezistivi este subestimata deoarece factorul de amplificare al amplificatorului rapid a fost setat la o valoare mica, astfel incat multe dintre semnale au fost sub pragul discriminatorului.

Valorile masurate de noi concorda insa cu valorile raportate in literatura de specialitate de catre alti autori cu preocupari similare.

Descrierea stiintifica si tehnica

1. Introducere

Tomografia cu emisie de pozitroni, PET (Positron Emission Tomography) este o tehnica imagistica cu trasor radioactiv in care compusi trasori marcati cu radionuclizi care emit pozitroni sunt injectati in obiectul de studiat. Acesti trasori sunt apoi utilizati pentru a urmari procese biomedicale si fiziologice cu aplicatii plecand de la diagnosticarea precoce a cancerului la studii neurofiziologice.

Dupa un traseu scurt, pozitronul este anihilat, rezultand doua radiatii gama antiparalele, fiecare avand energia de 511 keV. Radiatia gama incidenta va interactiona cu mediul de detectie prin procese Compton si fotoelectric generand electroni primari care vor initia avalansa. Detectia coincidenta a ambilor fotoni identifica producerea anihilarii de-a lungul curbei care uneste punctele de detectie; acumularea acestor date permite reconstructia activitatii in tesut.

Cele mai multe scannere PET existente in prezent folosesc cristale scintilatoare (NaI – Sodium Iodide, BGO – Bismuth Germanate, GSO-Gadolinium Oxyortosilicate, LSO-Lutetium Oxyortosilicate) pentru detectia fotonilor. Cu aceasta tehnica , folosind cristale scintilatoare de mici dimensiuni (cativa mm) insa cu un pret destul de mare al fotomultiplicatorilor s-a reusit, in ultimile doua decenii, obtinerea unor scannere PET cu o rezolutie din ce in ce mai buna la un pret rezonabil [1]. Recent a inceput explorarea posibilitatii de inlocuire a fotomultiplicatorilor cu fotodiode care au avantajul ca sunt de mici dimensiuni, au un pret de cost redus si o eficienta cuantica crescuta in comparatie cu fotomultiplicatorii. Insa au dezavantajul unei amplificari mai mici cu 2-3 ordine de marime in comparatie cu fotomultiplicatorii si mai ales o rezolutie temporală limitata, ceea ce e deosebit de important pentru PET.

Camerele rezistive cu placi (RPC – Resistive Plate Chamber) dezvoltate pentru studiul interactiilor nucleare la energii relativiste si ultrarelativiste au o rezolutie temporală foarte buna ($\sigma_t < 100$ ps) si deasemenea furnizeaza informatie de pozitie in doua dimensiuni cu

o rezolutie buna. Similarile Monte-Carlo sugereaza ca sensibilitatea scannerelor bazate pe RPC pentru scanarea intregului corp al omului poate sa depasasca tehnologia PET actuala bazata pe cristale scintilatoare cu un factor de 20 [2]. RPC au in plus avantajul constructiei simple si economice precum si faptul se pot realiza la dimensiuni cu care pot fi asamblati in geometrii $\sim 4\pi$.

In cadrul grupului nostru au fost dezvoltati detectori RPC cu o rezolutie temporală foarte buna, $\sigma_t \sim 60$ ps, pentru detectia de particule minim ionizante, ca urmare intersul de a vedea in ce masura acesti RPC se pot utiliza ca detectori de imagine in tomografia cu emisie de pozitroni. In cazul de fata trebuie subliniat ca nu s-a facut nici un fel de optimizare a parametrilor mecanici sau de operare pentru aceasta aplicatie specifica. Pentru reconstructia imaginii in trei dimensiuni (3D – reconstruction) a punctelor de emisie ale radiatiei gama s-au dezvoltat numerosi algoritmi complecsi bazati pe diferite metode: algoritmul FBP (Filtered Back Projection), utilizat in prezent in toate echipamentele medicale [3] care este bazat pe inversarea formulei date de teorema Fourier pentru sectiuni (Fourier slice theorem), algoritmul OSEM bazat pe o abordare probabilistica (calculul functiei de densitate astfel incat probabilitatea ei sa fie maxima) [3], algoritme bazate pe simulari Monte Carlo, de exemplu GATE (GEANT4 Application for Tomographic Emission)[4].

Elaborarea unui algoritm este o provocare datorita fenomenelor fizice si geometriei de detectie care trebuie luate in considerare, precum si datorita cantitatii urias de date care trebuie prelucrata. In cazul de fata dorindu-se doar o evaluare a posibilitatii de a utiliza RPC dezvoltati in cadrul grupului pentru PET, s-a elaborat un program de simulare Monte Carlo simplu care nu ia in considerare interactia pozitronului cu tesuturile organismului uman si influenta acestui proces asupra rezolutiei reconstructiei ci urmarest doar traiectoriile radiatiei gamma din puncte de emisie uniform distribuite in diferite forme geometrice pana la sistemul de detectie si determinarea coordonatelor punctului de emisie afectate de rezolutia cu care se determina coordonatele punctului de detectie precum si de rezolutia temporală.

Mentionam ca in prezent exista doar studii pe baza de prototipuri ale performantelor si perspectivelor utilizarii RPC in PET[2,5,6], astfel incat prezentul studiu este justificat.

2. Reconstuctia de imagine prin simulare Monte Carlo folosind ca detectori de imagine detectorii MSMGRPC

In cele ce urmeaza prezintam rezultatele obtinute ca urmare a simularii Monte Carlo pentru detectia radiatiilor gama de anihilare, considerand punctele lor de emisie uniform distribuite in trei geometrii diferite, cu RPC-uri asamblate intr-o geometrie cilindrica cu raza $RC=0,5\text{m}$ si o lungime de 1 m. O astfel de geometrie se poate obtine folosind camere cu placi rezistive de tipul celor realizate in cadrul grupului nostru.

Intrucat cele doua radiatii gama de anihilare se emit la 180° , prin detectia lor in coincidenta si masurarea timpilor lor de zbor din punctual de emisie pana ating detectorul si a pozitiei punctelor de detectie pe suprafata cilindrica a detectorului se pot reconstituie coordonatele punctului de emisie. Rezolutia temporala pentru detectia unei radiati gama a fost considerata de 80 ps, rezolutia in pozitie fiind $\sigma_x = 0,3\text{ mm}$ pe directia perpendiculara pe generatoarea cilindrului (considerata coordonata x) si $\sigma_y = 5\text{ mm}$ in lungul generatoarei cilindrului (coordonata y). Programul de simulare Monte Carlo realizat de noi are drept scop obtinerea efectului detectiei radiatiilor gama cu acesti parametrii asupra distributiei punctelor de emisie, care, in fapt, reprezinta imaginea reconstituita a obiectului de studiat ce se poate obtine utilizand un astfel de detector pentru rezolvarea unui tomograf.

Modelarea unui eveniment consta in urmatoarele:

- generarea a doua radiatii gama emise in aceeasi directie, in sensuri opuse din punctul de emisie de coordonate (xs,ys,zs); directiilor radiatiilor gama se considera uniform distribuite in spatiu
- detectia celor doua radiatii, adica determinarea coordonatelor de intersectie cu suprafata cilindrica, ($x1,y1,z1$) si ($x2,y2,z2$); in acest fel avem traectoria initiala "ideală"
- luarea in considerare a rezolutiei spatiale utilizand distributii Gauss centrate pe $x1(y1)$ si $x2(y2)$ si varianta egala cu rezolutia experimentală pe coordonata x (y); in acest fel se obtin punctele de detectie afectate de rezolutia spatiala, ($x1g,y1g,z1g$) si ($x2g,y2g,z2g$) care definesc traectoria "reală"

- reconstruirea coordonatelor punctului de emisie (x_{sg}, y_{sg}, z_{sg}) pe traiectoria "reală" cu luarea în considerare a rezolutiei temporale de detectie a celor două radiatii gama utilizând o distributie Gauss cu varianta egală cu rezolutia temporală experimentală.

In continuare se construiesc reprezentari bidimensionale (x_{sg}, y_{sg}) (secțiuni ale imaginii reconstruite pentru z_{sg} fixat) care se compara cu reprezentările corespunzătoare (x_s, y_s) neafectate de rezolutia temporală și de pozitie a detectorului. In acest fel se obtine o prima evaluare asupra posibilitatii utilizari RPC pentru tomografie. Se prezinta rezultatele obtinute pentru:

- Puncte de emisie uniform distribuite in 3 coroane concentrice cu distanta intre ele (5 mm) egala cu rezolutia spatiala in coordonata y: Fig. 1*
- Puncte de emisie uniform distribuite in 3 coroane concentrice cu distanta intre ele mai mica (3 mm) decat rezolutia spatiala in coordonata y: Fig.2*
- Puncte de emisie uniform distribuite in 3 sfere cu raze de 5, 10, 20 mm: Fig. 3, Fig.4*

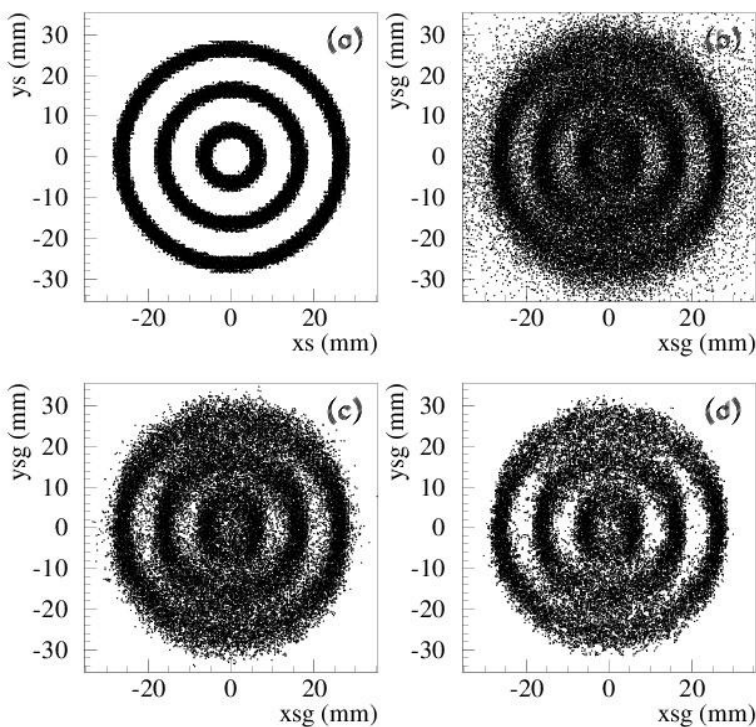


Fig. 1

In Fig. 1(a) sunt reprezentate punctele de emisie initiale, in Fig. 1(b) toate punctele de emisie reconstituite pentru sectiunea dupa coordonata $z \in [-0,5, +0,5]$ mm, in Fig. 1(c) punctele de emisie reconstituite in care avem mai mult de 5 evenimente din aceeasi sectiune, iar in in Fig. 1(d) punctele de emisie reconstituite in care avem mai mult de 10 evenimente. Se poate observa ca imaginea reconstituita este destul de fidela cu cea initiala, si are loc o imbunatatire a ei pe masura eliminarii fondului. Imaginea reconstituita din Fig. 1(d) este obtinuta pentru un factor de taiere a fondului de 1/10. Se mentine o stergere a imaginii datorata rezolutiei de 5 mm pe coordonata y. Un alt aspect este ca eroarea de evaluare a coordonatei z_{sg} , in care se manifesta atat rezolutia in coordonata x cat si cea in y, este mare conducand la faptul ca in imaginea reconstituita vom avea puncte de emisie pentru $z_{sg} \neq 0$ desi am pornit de la o sursa plana ($z_s = 0$ pentru toate punctele de emisie ale radiatiilor gamma). Pentru micsorarea erorii in determinarea coordonatei z punctului de emisie e necesara o imbunatatire a rezolutiei in determinarea coordonatelor punctului de detectie al radiatiei gama, in special a coordonatei y care se va putea obtine doar prin utilizarea unor structuri RPC mai complexe.

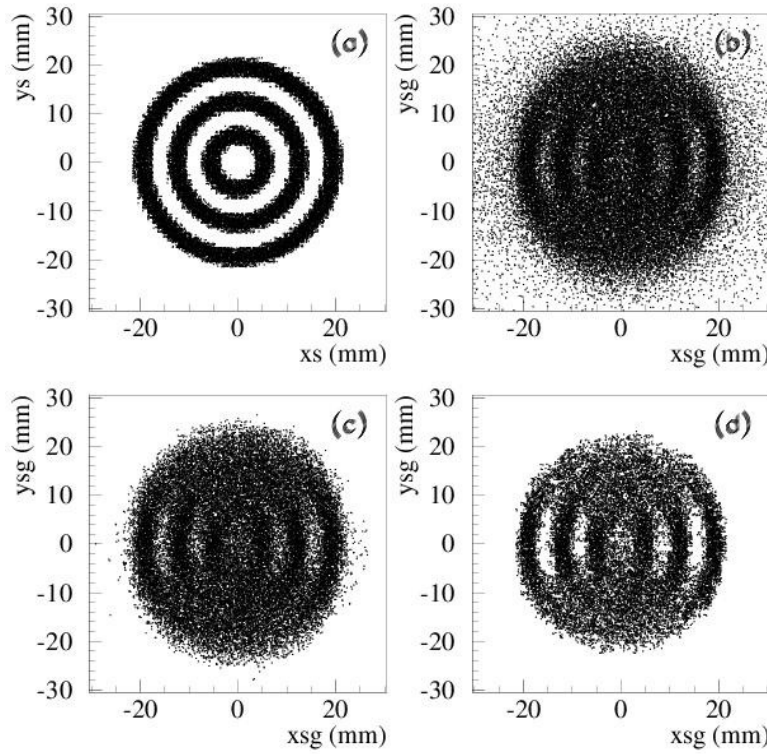


Fig.2

In cazul in care distanta intre coroane este mai mica decat rezolutia pe coordonata y, se observa (Fig. 2 (d)) ca imaginea reconstituita ramane neclara chiar si pentru un factor de taiere 1/3. In Fig. 2(a) sunt reprezentate punctele de emisie initiale –coroane cu distanta de 3 mm intre ele in planul $zs=0$, in Fig. 2(b) imaginea reconstituita fara factor de taiere, in Fig. 2(c) imaginea reconstituita cu un factor de taiere a zgomotului de 1:10.

In Fig. 3, 4 se prezinta rezultate pentru cazul in care punctele de emisie sunt in trei sfere cu raze de 5, 10, 20 mm si centre ($xs01 = ys01 = 15$ mm, $zs01 = 10$ mm), ($xs02 = ys02 = zs02 = 40$ mm), ($xs03 = 70$ mm, $ys03 = zs03 = 40$ mm), respectiv.

In Fig. 3 (a) este prezentata imaginea pozitiei punctelor de emisie a radiatie gama in planul (xs,ys) pentru $zs \in [40-42]$ mm (sectiunea care trece prin mijlocul sferelor cu raza de 40 si 20 mm), iar in Fig. 3(b) este imaginea reconstituia fara factor de taiere a fondului pentru aceiasi sectiune in coordonata z.

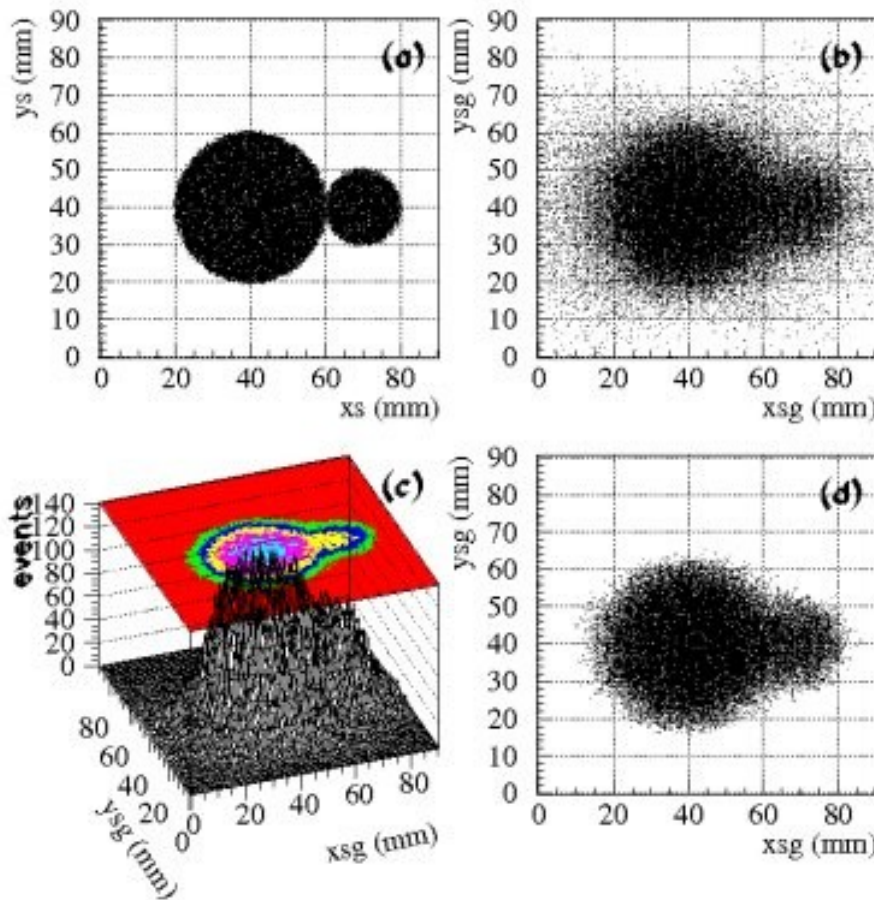


Fig. 3

In Fig. 3(b) e aceeasi reprezentare, in a treia dimensiune reprezentandu-se numarul de evenimente corespunzator fiecarui canal din histograma bidimensională. Reprezentările de acest tip sunt utile pentru a determina factorul de taiere. Folosind un factor de taiere de 1:10, se obtine imaginea reconstituită din Fig. 3(d) care e aproape similară cu cea initială.

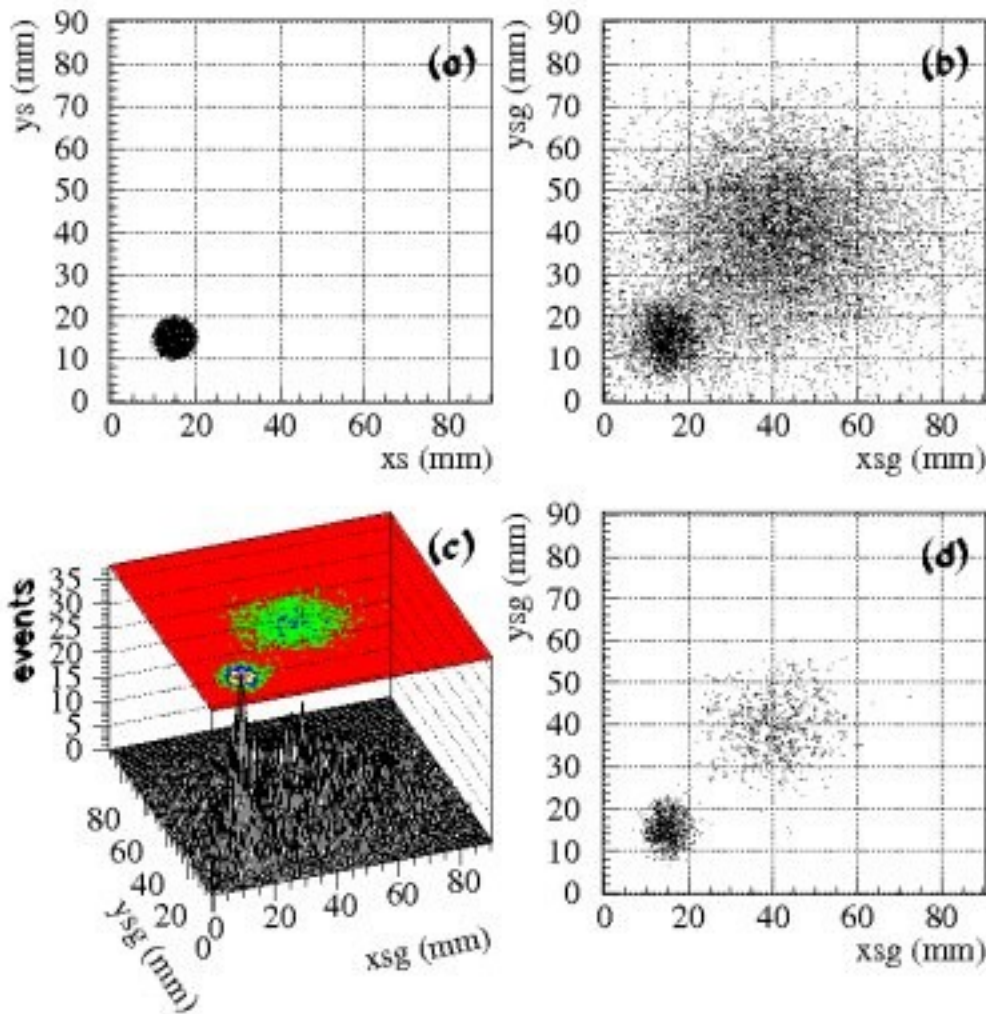


Fig.4

Dupa cum am mentionat mai sus cea mai mare eroare se obtine in reconstructia coordonatei z a punctelor de emisie. Aceasta se poate observa si pentru aceasta geometrie in Fig. 4 unde sunt reprezentari (xs, ys) ((xsg, ysg)) pentru sectiunea prin mijlocul sferei cu raza de 5 mm ($zs \in [8-10]$ mm ($zsg \in [8-10]$ mm)). In Fig. 4(a) este imaginea initiala a punctelor de emisie, un disc cu raza de 5mm. In Fig. 4(b) pe langa imaginea reconstruita a sferei cu raza de 5 mm se pot observa evenimente datorate sferei cu raza de

20 mm desi suntem la \sim 5mm de valoarea coordonatei z si la care incepe sfera mare. Cu un factor de taiere a fondului de 1:5 se obtine imaginea din Fig. 4 (d) unde evenimentele datorate sferei mari sunt reduse, iar pe de alta parte imaginea reconstituita a sferei mici are dimensiuni aproape identice cu cele initiale (Fig. 4 (a)).

Pe baza imaginilor reconstituie prin simularea pentru o sursa punctuala s-a evaluat ca eroarea in reconstructia coordonatei x este de \sim 2 mm, iar in coordonatele y si z este \sim 5mm.

Din studiul de mai sus rezulta posibilitatea utilizarii RPC realizate de noi pentru PET, avand in vedere posibilitatea realizarii de structuri multigap care ar imbunatati rezolutia in determinarea coordonatelor punctului de detectie a radiatiei gama.

3. Determinarea eficacitatii absolute de detectie a detectorului de tip RPC pentru radiatia gama de 511 keV

Performantele detectorilor MSMRPC dezvoltati in cadrul grupului nostru in termeni de rezolutie temporală si rezolutie spatială au fost deja demonstate si publicate in articole stiintifice de specialitate [7,8]. Acestei detectori au o rezolutie temporală de 60 – 80 ps pentru particulele minim ionizante si o rezolutie temporală de 90 ps in detectia de radiatie gama. Rezolutia in pozitie pentru particulele minim ionizante, transversal pe stripuri a fost estimata la 300 microni, iar rezolutia in pozitie de-a lungul stripului a fost de 5 mm.

Aceste valori au fost utilizate ca parametrii de intrare pentru reconstructia de imagine realizata prin simulari Monte Carlo pentru a investiga posibilitatile de utilizare a detectorilor MSMRPC in PET, simulari ale caror rezultate au fost prezentate in capitolul anterior.

Posibilitatea furnizarii de imagini cu dimensiuni axiale mari (AFOV- Larger Axial Fields of View), respectiv posibilitatea cresterii AFOV la dimensiunile corpului uman cu costuri reduse este unul din avantajele realizarii acestor investigatii.

Eficienta de detectie previzibila a RPC-urilor pentru fotonii de 511 keV ai sursei de ^{22}Na este in mod evident mult mai redusa decat a cristalelor scintilatoare traditionale.

Scopul acestui studiu este de a estima eficienta de detectie a unui prototip de detector MSMGRPC pentru fotonii de anihilare de 511 keV ai sursei de ^{22}Na , performanta in termeni de rezolutie temporală pentru detectia de fotoni gama ai sursei de ^{60}Co , a acestui prototip, fiind mai buna de 50 ps [9].

Principiul metodei

Pentru determinarea eficacitatii absolute de detectie s-a folosit o sursa quasipunctuala de ^{22}Na care emite pozitroni, iar acestia prin anihilare, produc cate o pereche de fotoni de 511 keV, emisi in directii antiparalele. Identificarea evenimentelor de interes (detectarea perechilor de fotoni emisi in opozitie) se face cu ajutorul a doi detectori dispuși simetric fata de sursa. Coïncidența intre cei doi detectori indica faptul ca s-a produs un eveniment de interes.

Detalii experimentale

Structura de detectie aleasa in acest caz este prezentata in Fig. 5 si este formata din : 4 electrode de sticla, 2 electrode metalice din aluminiu si placa cu stripuri de cupru pentru culegerea si transmitarea semnalelor. Electrodele sunt dispuse simetric, de-o parte si de alta a placii cu stripuri. Primele doua placi de sticla sunt puse in contact direct cu stripurile metalice, urmatoarele doua placi de sticla, ca si cele de aluminiu, fiind separate printr-un distanțor cu grosimea de 0,300 mm. Carcasa detectorului este facuta dintr-un tub de aluminiu cu secțiune dreptunghiulara cu dimensiunile exterioare de 40 mm x 80 mm x 330 mm si cu peretele gros de 4 mm.

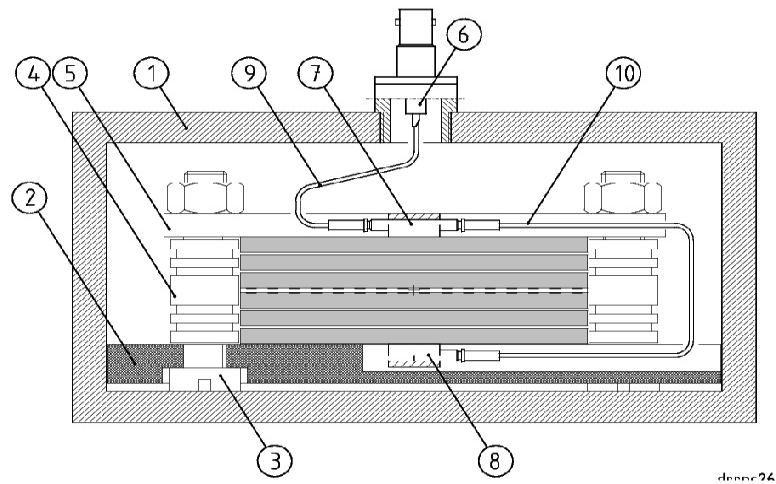


Fig. 5. Secțiune transversală prin detector

Amestecul gazos folosit ca mediu de detectie este amestecul standard: 85% C2F4H2, 10%SF6 și 5%C4H10, în curgere continuă, la presiunea atmosferică.

Masurările au fost realizate în laborator folosind o sursă de ^{22}Na . Aceasta a fost plasată între carcasa detectorului și un detector scintilator NE102 (SCIP) cuplat direct cu un fotomultiplicator, astfel cum se observă în figura. 6, într-o geometrie bine definită.

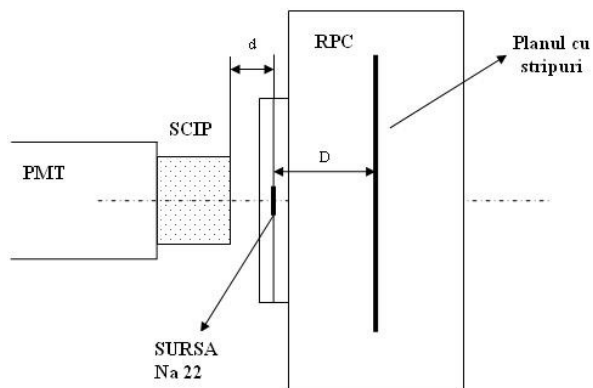


Fig. 6 Geometria de masurare a coincidentelor SCIP/RPC

O imagine a geometriei in aranjamentul experimental poate fi urmarita in figurile 7 si 8.

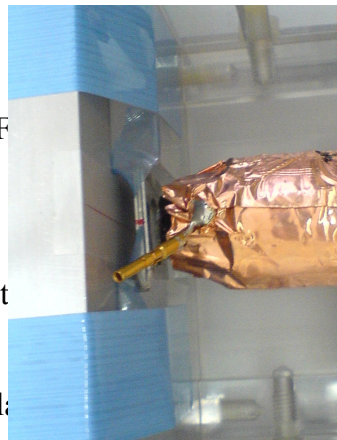
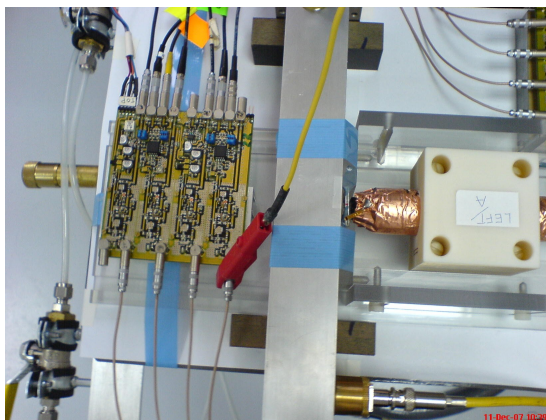


Fig. 7 Imaginea aranjamentului experimental F
i de masura

Prin aceasta geometrie se asigura:

- coaxialitatea sursei si a celor doi detectori;
- ajustarea distantei sursa-detector;
- pozitionarea precisa si reproductibila a elementelor de masura, ceea ce permite determinarea precisa a elementelor geometricice care intervin in calculul eficientei absolute de detectie.

Au fost inregistrate semnalele furnizate de 4 din cele 14 stripuri ale detectorului, fiecare strip fiind "citit" la ambele capete.

Semnalele furnizate de detector au fost amplificate cu amplificatori rapizi, special proiectati pentru obtinerea informatiei de timp cu rezolutie temporală foarte bună de la detectorii RPC similari, bazati pe sticla comercială, utilizati la modernizarea subdetectorului de TOF al aranjamentului experimental FOPI. O imagine a acestora se poate observa in figura 7.

Fiecare amplificator rapid are 4 intrari si 8 iesiri, deoarece furnizeaza simultan informatie de timp si cea de amplitudine a semnalului. Semnalul logic obtinut de la fiecare canal de discriminat a fost apoi introdus intr-un discriminator de tip leading-edge (LE). Dupa realizarea unui AND logic intre semnalele logice corespunzatoare celor doua capete ale fiecarui strip, semnalele obtinute la iesirea fiecaruia dintre cele patru AND-uri au fost introduse intr-un OR logic.

Semnalul de start a fost obtinut prin suprapunerea temporala a semnalului de la scintilator cu cel obtinut la iesirea OR-ului logic. Schema electronica utilizata pentru prelucrarea si inregistrarea semnalelor este prezentata in figura 9.

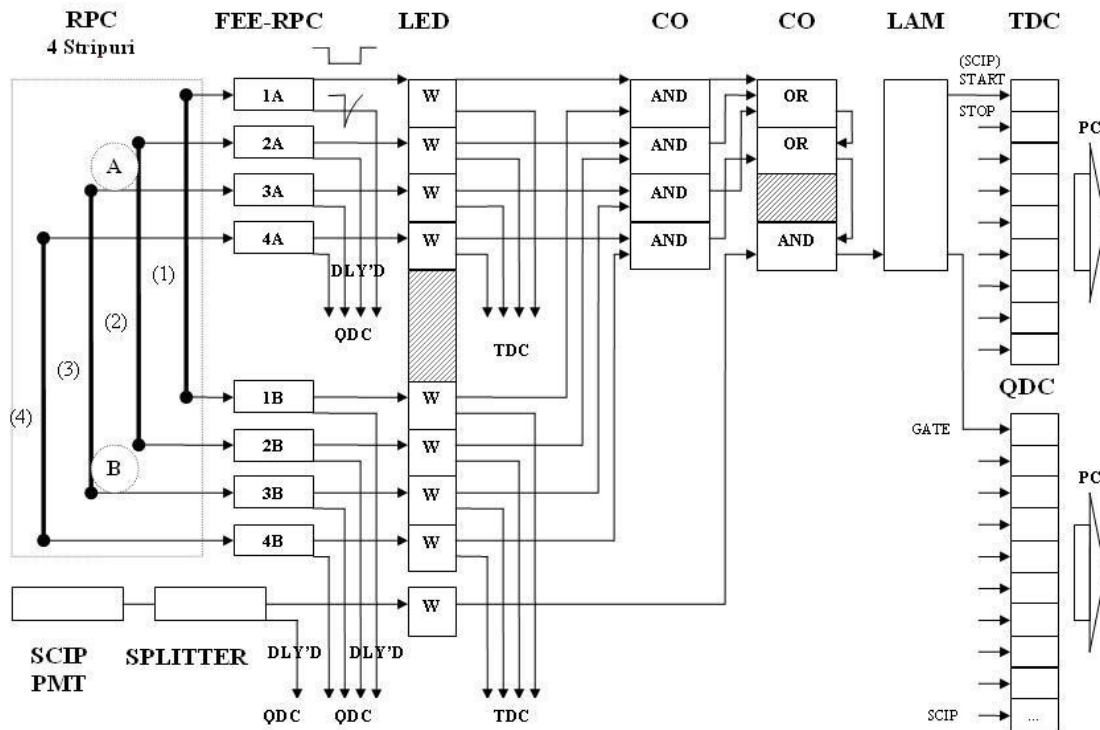


Fig. 9. Schema bloc a aranjamentului experimental

Spectrele de timp au fost inregistrate prin intermediul unui convertor analog-digital TDC LeCroy 2228A. Semnalele de sarcina au fost inregistrate prin intermediul unui convertor analog-digital ADC2249W.

Rezultate experimentale

In figura 10 este prezentat spectrul de distributie a amplitudinilor de sarcina colectata. Forma exponentiala este tipica pentru spectrele produse de conversia radiatiei gama in acest tip de detector. Prin efect Compton radiatia gama creeaza cu cea mai mare probabilitate un electron intr-un singur gap. Spectrul de sarcina al unui detector cu un

singur subspatiu este de forma exponentiala, asa cum arata atat rezultatele experimentale cat si cele obtinute prin simularea proceselor fizice.

Spectrul sarcinii colectate furnizate de detectorul scintilator este prezentat in figura 11.

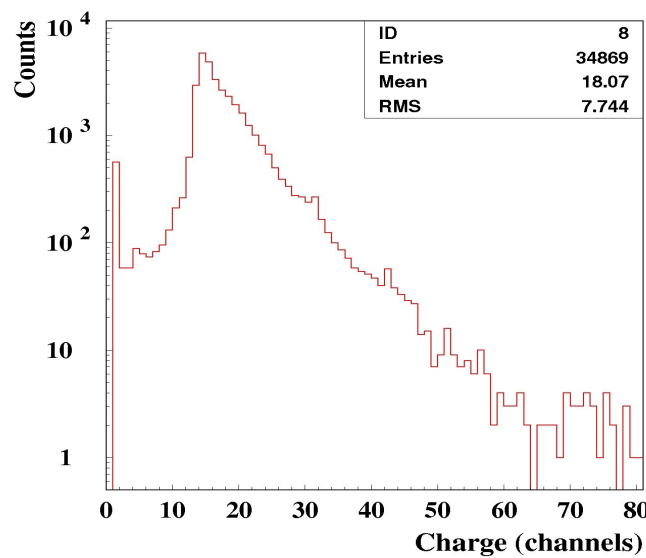
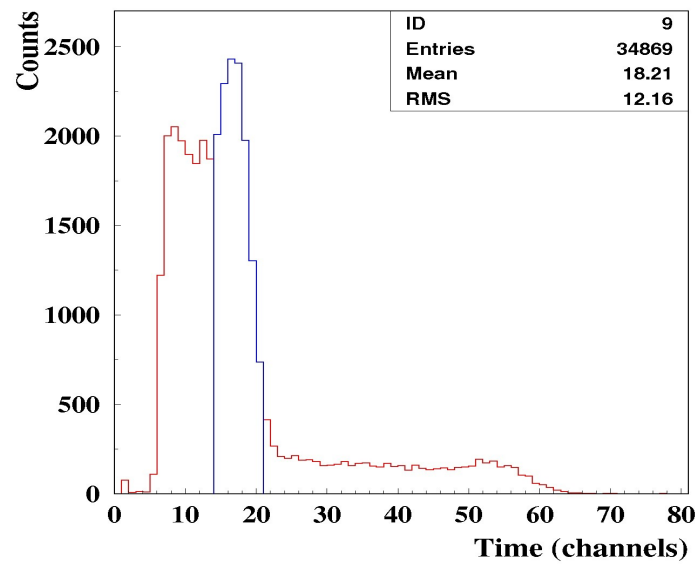


Fig. 10. Spectrul de sarcina colectata la unul din capetele stripilor masurate

Fig. 11. Spectrul de sarcina colectata la unul din capetele stripului masurat



Se observa in spectrul de sarcina colectata al detectorului scintilator cele doua zone de absorbtie Compton, corespunzatoare celor doua radiatii gama de energii diferite: radiatia gama de 511 keV obtinuta prin anihilarea pozitronilor emisi de sursa de ^{22}Na si radiatia gama de 1.27 MeV corespunzatoare tranzitiei pe nivelului fundamental al atomului de ^{22}Ne rezultat in urma emisiei de pozitroni.

Impunand conditia de selectie a regiunii corespunzatoare absorbtiei Compton a radiatiei gama de 511 keV in scintilator, spectrul de timp de zbor obtinut pentru un strip este prezentat in figura. 12.

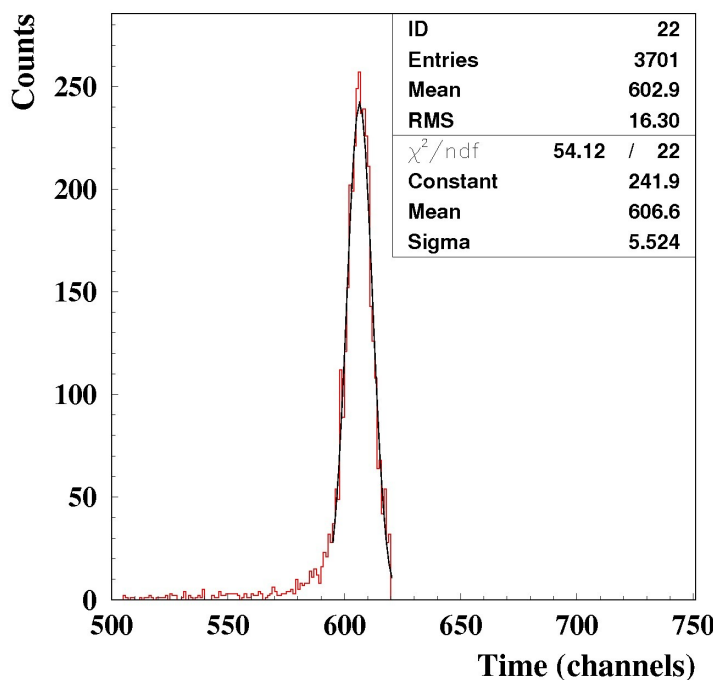


Fig 12. Spectrul de timp de zbor obtinut cu conditionare in regiunea de sarcina colectata corespunzatoare absorbtiei Compton a radiatiei gama de 511 keV in detectorul scintilator

Se observă că numărul de evenimente pentru care se obține un semnal de coincidență este de 3701 într-un timp de măsură de 1045 min, ceea ce corespunde la o rata de 3.54 coincidente/minut.

Dintr-o măsurătoare separată între doi scintilatori identici (Fig.13, Fig.14) s-a obținut spectrul de timp de zbor prezentat în figura 15.

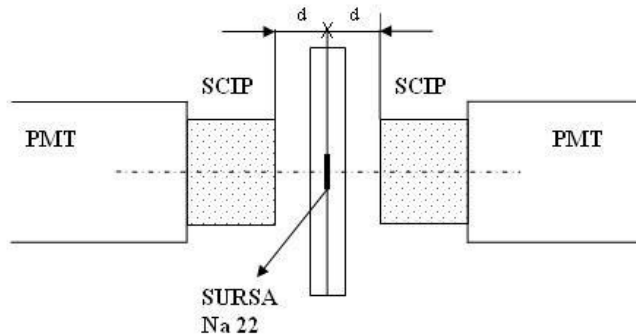


Fig. 13

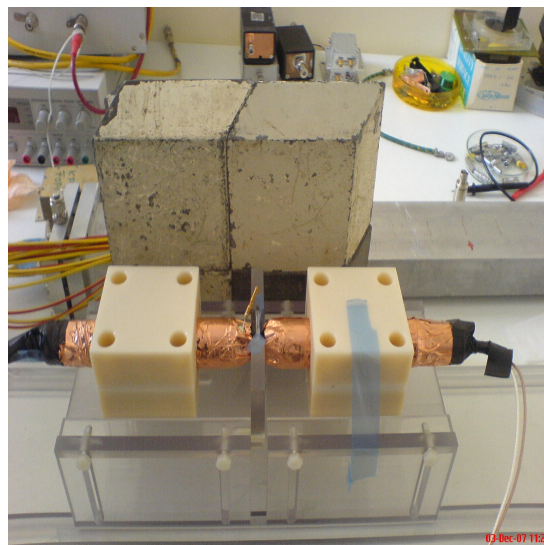


Fig. 14. Imaginea aranjamentului experimental utilizat în măsurările de coincidență între scintilatori

Numărul de evenimente pentru care s-a obținut coincidență între cele două scintilatori în acest caz a fost de 412 984 într-un timp de măsură de 2650 minute, ceea ce corespunde la o rata de 155,84 coincidențe/minut.

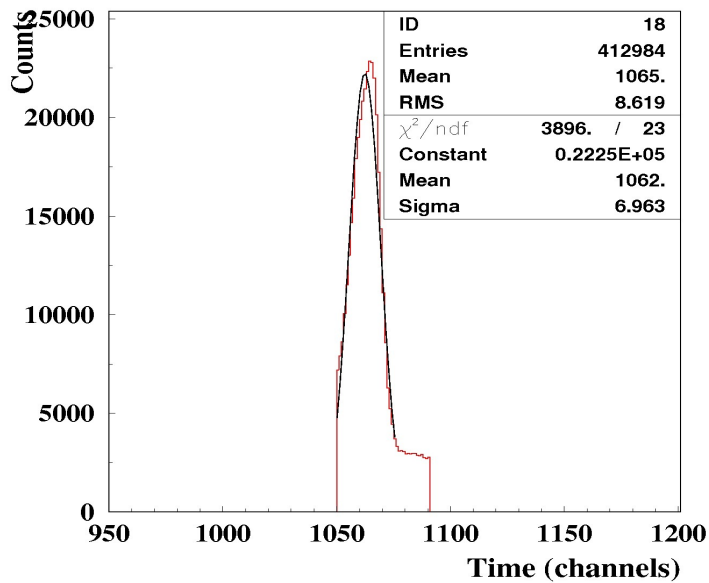


Fig. 15. Spectrul de timp de zbor obtinut cu conditionare in regiunea de sarcina colectata corespunzatoare absorbtiei Compton a radiatiei gama de 511 keV in detectorul scintilator

Pentru calculul eficientei de detectie a fost necesar sa se evaluateze corectiile de unghi solid al caror calcul s-a facut tinand seama de dimensiunile scintilatorului (Fig. 16) si de geometria stripurilor de redare a semnalelor RPC-urilor (Fig.17):

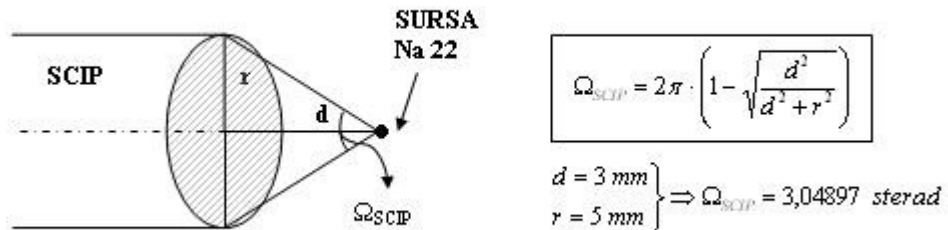


Fig. 16. Geometria SCIP/Sursa ^{22}Na

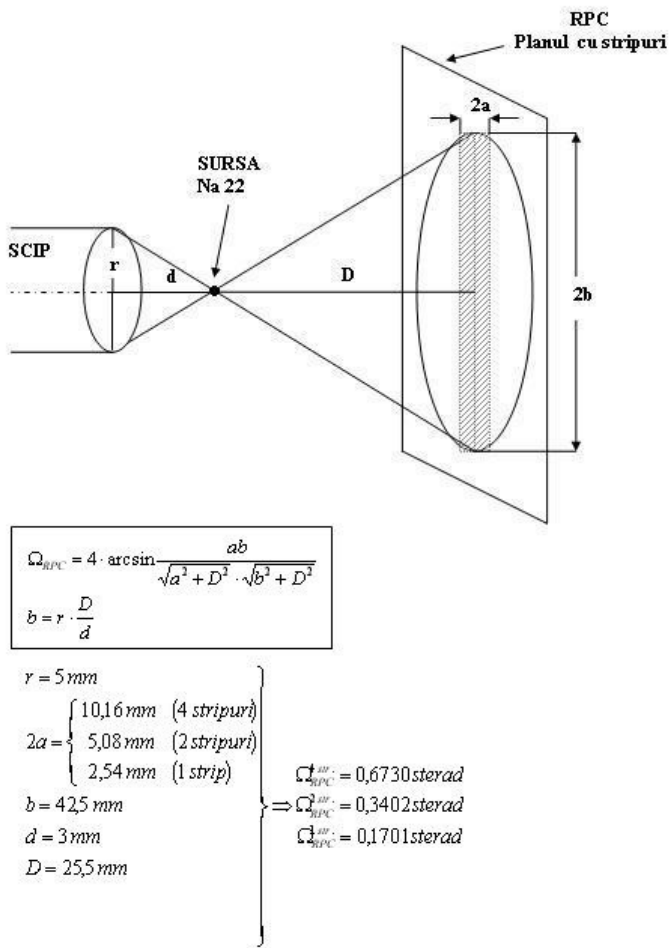


Fig. 17. Geometria RPC/Sursa $^{22}\text{Na}/\text{SCIP}$

Cunoscand numarul de evenimente care au generat coincidente, timpul de masura si unghiul solid corespunzator, s-a putut face calculul ratei de numarare in unitatea de unghi solid, care in cazul scintilatorului a fost $R_{\text{SCIP}} = 50.54$ fotoni/min/sterad, iar in cazul detectorului MSMGRPC a fost $R_{\text{MSMGRPC}} = 20.82$ fotoni/min/sterad.

Pentru calculul ratei de producere a fotonilor gama de 511 keV, s-a tinut seama de faptul ca dupa dezintegrarea β^+ atomul de ^{22}Na trece intr-o stare excitata a atomului de ^{22}Ne , trecerea in starea fundamentala facandu-se prin emisia unei radiatii gama de 1,274 MeV (a se vedea Anexa 1). Activitatea sursei a fost masurata pentru radiatie gama de 1,274 MeV. S-a facut o actualizare a activitatii sursei tinand cont de activitatea ei initiala si de timpul de injumatatire. Rata de producere a fotonilor gama de 511 keV s-a calculat conform relatiei:

$$R(511keV) = \frac{\mu(511keV)}{\mu(1274.5keV)} \frac{A(1274.5keV)}{\Omega} = 162210.7 \text{ per.fot./ min/ sterad}$$

unde :

$\mu(511 \text{ keV})$ = randamentul de generare de perechi de fotoni de 511 keV;

$\mu(1274.5 \text{ keV})$ = randamentul de emisie de fotoni de 1274,5 keV ;

Ω = unghiul solid in care emite sursa.

Eficacitatea absoluta de detectie a detectorului de plastic scintilator este :

$$\epsilon_{SciP} = \frac{R_{SciP}}{R(511keV)} = 0.0312\%$$

Eficacitatea absoluta de detectie a MsMgRPC este :

$$\epsilon_{MSMGRPC} = \frac{R_{MSMGRPC}}{R(511keV)} = 0.0128\%$$

Raportul celor doua eficacitati $\epsilon_{SciP}/\epsilon_{MSMGRPC}=2,4375$, ceea ce arata ca eficacitatea absoluta de detectie a detectorului de plastic scintilator pentru radiatia gama de 511 keV este de aproximativ 2,5 ori mai buna decat a detectoruli MSMGRPC.

Trebuie insa subliniat aici ca valoarea estimata pentru detectorul cu electrozi rezistivi este subestimata deoarece factorul de amplificare al amplificatorului rapid a fost setat la o valoare mica, astfel incat multe dintre semnale au fost sub pragul discriminatorului. De asemenea, un alt factor care a afectat masuratoarea a fost faptul ca amestecul de gaz utilizat ca mediu de detectie nu se formeaza dinamic, din buteliile originale, ci el este realizat anterior masuratorii, intr-o butelie separata, in care presiunea maxima de umplere este limitata de presiunile de vaporii ale componentelor care alcataiesc amestecul. Din acest motiv rata de curgere a gazului prin detector nu a fost constanta, afectand rata evenimentelor inregistrate de detectorul MSMGRPC.

Valorile masurate de noi concorda insa cu valorile raportate in literatura de specialitate de catre alti autori cu preocupari similar, asa cum se poate observa in figura 18 [10].

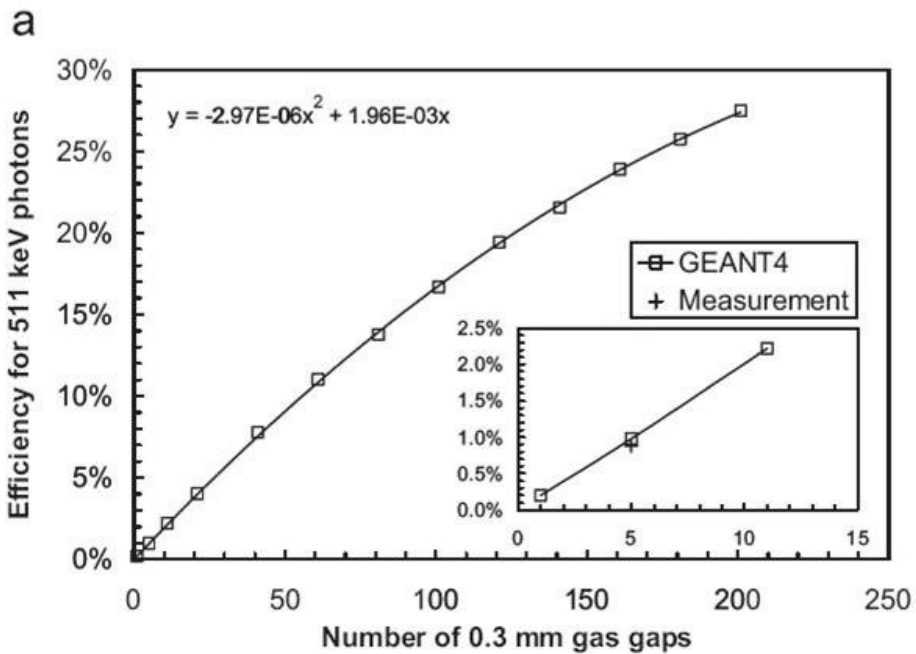


Fig. 18. Eficacitatea de detectie pentru fotonii de 511 keV in functie de numarul de spatii dintre electrozi

Se observa ca pentru un detector de tip RPC cu 4 spatii intre electrozi valoarea obtinuta [2] este de ~0,7%.

Concluzii

- Rezultatele similarilor Monte Carlo demonstreaza posibilitatea utilizarii RPC-urilor realizate de noi ca detectori de imagine pentru aplicatii PET
- Eficienta de detectie a radiatiei gama masurata de noi concorda cu valorile raportate in literatura; valorile obtinute sunt subestimate datorita valorii mici a “gain-ului” amplificatoarelor si utilizarii unei rate mici de curgere a gazului din motive economice
- Rezultatele demonstreaza posibilitatea utilizarii RPC-urilor in arhitectura dezvoltata de noi ca detectori de imagine in tomografia cu emisie de pozitroni furnizand domeniului fizicii aplicative o solutie de tomograf cu performante care sa le depaseasca pe cele ale tehnologiei PET actuale

Bibliografie

1. Arman Rahim, Ph-Thesis, Univ. of British Columbia, May 2005
2. M. Couceiro et al., Nucl. Instr. & Meth. Phys. Res. A 580 (2007) 915-918
3. D. De Freitas et al., Nucl. Instr. & Meth. Phys. Res. A 569 (2006) 409-411
4. D. Strul et al., Nuclear Physics B (Proc. Suppl.) 125 (2003) 75-79
L. Eriksson et al, Nucl. Instr. & Meth. Phys. Res. A 580 (2007) 836-842
5. A. Blanco et al., Nucl. Instr. & Meth. Phys. Res. A 567 (2006) 96-99
6. J. L. Herraiz et al., Nucl. Instr. & Meth. Phys. Res. A 580 (2007) 934-937
7. M.Petrovici, N.Herrmann, K.D.Hildenbrand, G.Augustinski,
M.Ciobanu, I.Cruceru, M.Duma, O.Hartmann, P.Koczon, T.Kress,
M.Marquardt, D.Moisa, M.Petris, C.Schroeder, V.Simion, G.Stoicea,
J.Weinert, "A Large Area Glass Resistive Plate Chamber with Multistrip Readout",
Nucl. Instr. and Methods A 487 (2002), 337
8. M.Petrovici, N.Herrmann, K.D.Hildenbrand, G.Augustinski, M.Ciobanu,
I.Cruceru, M.Duma, O.Hartmann, P.Koczon, T.Kress, M.Marquardt, D.Moisa,
M.Petris, C.Schroeder, V.Simion, G.Stoicea, J.Weinert, "Multistrip, Multigap,
Symmetric RPC", Nucl. Instr. and Methods A 508 (2003),75.
9. M.Petrovici et al., CBM Progress Report 2006, ISBN: 978-3-9811298-1-6, p.43.

